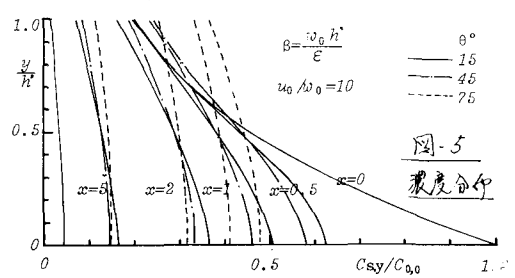
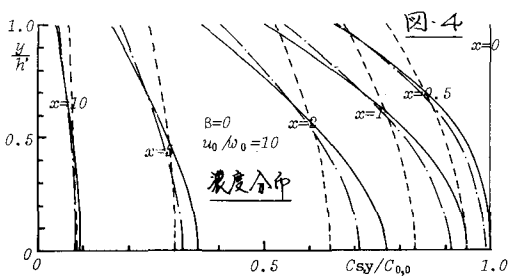
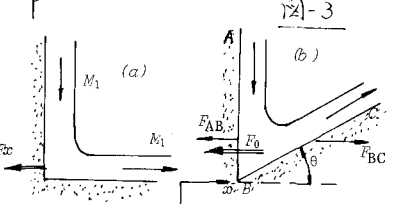
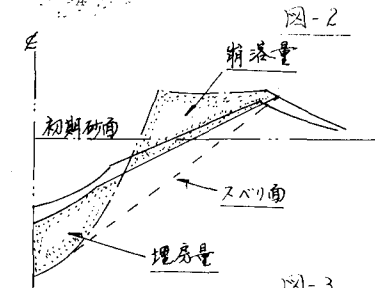
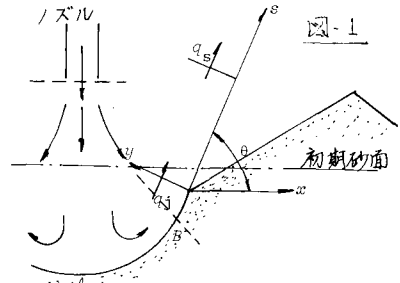


# 斜直噴流による洗掘…後期洗掘構

西日本工業大学 正・赤司 信義  
山口大学工学部 正・有藤 隆

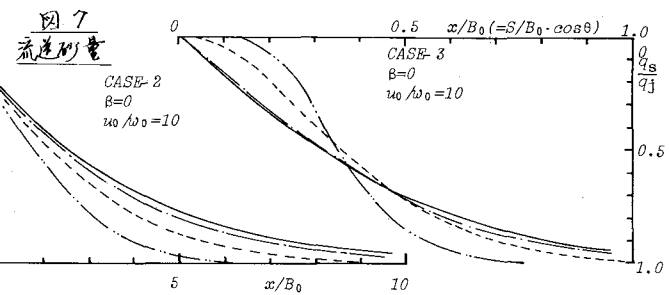
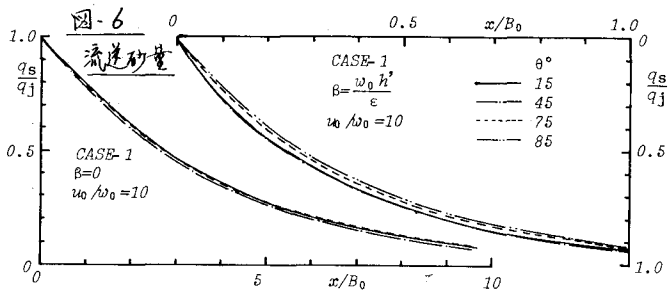
斜直噴流による洗掘過程を観察してみると、洗掘の進行と共にその砂移動形式が異なり、色々と見られる。すなはち洗掘深に比べて洗掘長が大きい初期洗掘においては洗掘穴斜角が非常に緩くであるため砂移動はほとんど静流形式である。時間と共に洗掘穴長との増大率に比べて洗掘深のそれが非常に大きくなると洗掘穴内の砂移動は砂の水中安息角より緩い形状をもつ中期洗掘においては、洗掘穴内の砂移動はやはり静流形式であり、砂時節付近に生ずる流れの溝脚によじて洗掘穴から外へ流送される。さらに洗掘が進行すると洗掘形状は相似形となり洗掘穴内の斜角勾配は砂の水中安息角勾配より大きくなる後期洗掘へと移行する。この時洗掘穴内の砂移動は静流力によじて生じられるとされるが、洗掘穴内の強烈な流れによじて砂粒はまき上げられ、砂時節から崩落していく砂粒子群と共に洗掘穴から外へ洗掘穴斜面に向じて噴き上げられる。遂に後期洗掘を進むる要因は噴き上げによる浮遊砂搬散とみなせよう。本文はこうした後期洗掘構の把握を試みるため、砂時節の崩落現象から喷き上げによる浮遊砂搬散を以下に示すと共に後期洗掘計算について述べるものである。洗掘計算：後期洗掘構は上述の様に洗掘穴底部からの静流砂塵と砂時節からの崩落砂量と共にまたこじて噴き上げ、搬散するものであるが、現象の単純化の為、流れと崩落現象を別個に考えて取り扱う。

まず洗掘穴からの流送砂のみを仮定式により砂時節崩落量を求め、過渡的な形状として図2の一束鎖線の形状を求める。そして安息角以上の部分は崩落するを考え、実線の様にすべり面を想定し過渡的形状をもつ斜面に近くじてこの流れの変向に伴う力と砂時節の崩落せんとすり力(圧力)との釣り合い地図を用いた。釣り合い地図から図の様に崩落部位を定め、その崩落量が洗掘穴へ埋め戻されるとして計算するものである。砂時節崩落現象：図1の斜面ABに近く力を考えるため、傾斜角を图1の実線の斜面に近くとして運動量の定理を適用する。現象をより簡単的にとらえるため図3を参考する。左図の壁体に近く力は水平力として $F_x = -M_1$ 、又右図の壁体に近く力の内水平力を考えると $F_x = -M_1 \cos \theta$ である。これは壁体ABCに近く力の水平分力である。今BC面に近く力を求めると、BC面が傾くにつれ、ABCに近く水平分力は小さくなる。こ



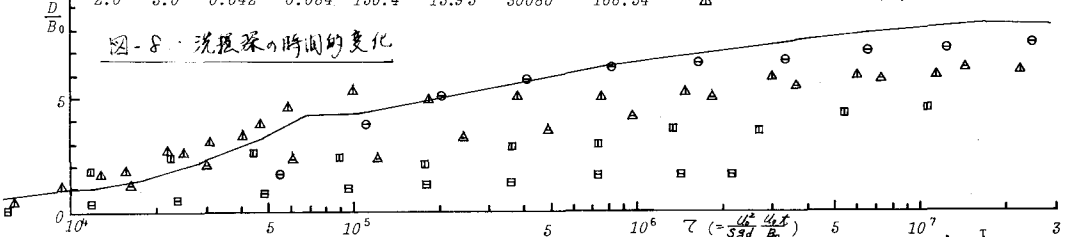
これはAB角に働く力 $F_{AB}$ とBC角に働く力 $F_{BC}$ 合計力 $F_0$ として求まる事に分かる。 $F_0 = F_{AB} + F_{BC}$ 。ここで $F_{AB}$ をA点の $F_x$ と考えると、 $F_{BC} = F_0 - F_x = M_1(1 - \cos\theta)$ となる。運動量 $M_1$ の評価としては直噴流の衝突後の流れはほぼ自由噴流の流れを半分にして取り扱い、たしかに等しい事より自由噴流の速度分布を積分する事で求めた。 $M_1 = \frac{2}{3} \frac{P_{AB} d_0}{\rho g} \frac{\delta_0}{V_0^2}$ 。

土圧合力はフーロン公式を適用し、砂時節が崩落しうるとする考え方より砂時節から主圧土圧とし、この流体力と土圧合力を等しいとおく時の割合を状態を判定する式となる。 $1 - \frac{4}{3} \frac{1}{\cos\theta \sqrt{2}} \left( \frac{u_0}{d_0} \right)^2 \frac{d_0}{B_0} \cos\theta = \left( \frac{u_0}{d_0} \right)^2 \left( \frac{d}{B_0} \right)^2 f(\theta)$ 。この式によ



り図2の過渡的形状に対する崩落部分が定まる。次に図2の過渡的形状について考える。噴き上げによる洗掘物搬散；後期洗掘において洗掘穴からの砂粒子群の流速は洗掘穴斜面に沿って噴き上げられる。この時洗掘は相似形状をもって進行し、最終洗掘形状になる時洗掘穴からの流速砂量は砂時節を越えて外に出ず、必ず砂時節内側に堆積する筈である。こうした噴き上げ現象を搬散方程式と導入する事で流速砂量を求めて過渡的形状を定めようとするものである。CASE-1としては乱流搬散式に連続の式を導入し、 $\beta = 0$ として一定流速の喷き上げられたものとの時の濃度分布の変化を図4, 5に、又流速砂量を図6に示した。 $\beta = 0$ とする時、濃度分布は二様であり、 $\beta = 15 \frac{u_0}{d_0} / \sqrt{2}$ とするとうねり分布簡略式となる。直噴流の衝突後の主流部の流れにおいて無次元渦動粘性係数 $u_{w0}/u_0 = \alpha$ はほとんど一定である事を考慮する時、濃度分布は  $C/C_0 = \exp \left( \int_{-\infty}^{x/B_0} \frac{u_0}{E} dy \right)$ として求められ、その分布は  $\beta = 20 \frac{u_0}{d_0} / \sqrt{2}$  と置く事が出来る。初期濃度分布により場所的な変化は本なり割別されるが、図6を見て分かる様に流速砂量は初期濃度分布と変化させても工して変りない事が分かる。本caseを用いて過渡的形状を求める前の割合を考慮し、うめもどし作用をとり入れても砂時節を越えて外に出土量が多くなる、洗掘は収束の工としてみせらる。そのため case-2として搬散式、連続式を加えて流れの条件として流速距離によつて流速が減少するという条件をつけて解いたものが図7の左図である。流速減少条件を導入すると噴き上げ床が底面から流速砂量の低下は早い事が分かる。さらに case-3として流れの連続式を無視して搬散式に直接流速減少の条件を導入して解いたものが図7の右図である。図8は case-2の場合の噴き上げ搬散モデルによつて洗掘の

$B_0$	$h/B_0$	$d/B_0$	$d$	$u_0$	$u_0/h_0$	$u_0 B_0 / v$	$u_0^2 / sgd$
2.0	5.0	0.021	0.042	30.0	6.48	8000	13.25
2.0	5.0	0.021	0.042	65.0	14.04	13000	62.21
2.0	5.0	0.021	0.042	128.0	26.57	24600	222.77
2.0	5.0	0.042	0.084	74.0	6.85	14800	40.32
2.0	5.0	0.042	0.084	150.4	13.93	30080	166.54



進行を追跡し、洗掘深の時間的变化を示したものである。図中の実線は△の条件で計算した結果である。